

ANEXO IVc:

Cartografia dos teores esperados e teores residuais positivos resultantes da análise por regressão (“stepwise regression”) em função das Litologias, Zonas Geoestruturais e Al, Fe, Mn (e Ca, no caso do Sr), sobre resultados obtidos após ataque com Acetato de Amónio e análise por AAS em 653 amostras de sedimentos de corrente de Portugal Continental (página 134 e seguintes do Volume I).

Co^* = COBALTO f(RG, RM, RS, RC, ZCI, ZOM, ZSP, Orlas, Al, Fe, Mn, Ca) em SEDIMENTOS de CORRENTE

**GEOQUÍMICA de PORTUGAL
cartografia regional 2000**

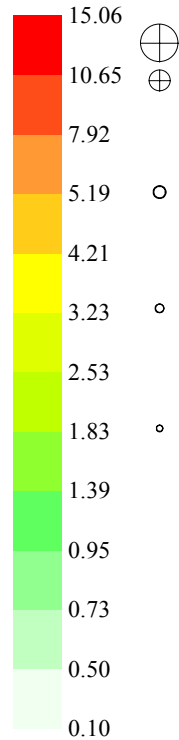
(<80#, Acetato de Amónio, AAS, Krigagem)

**Co
Sedimentos
de Corrente**

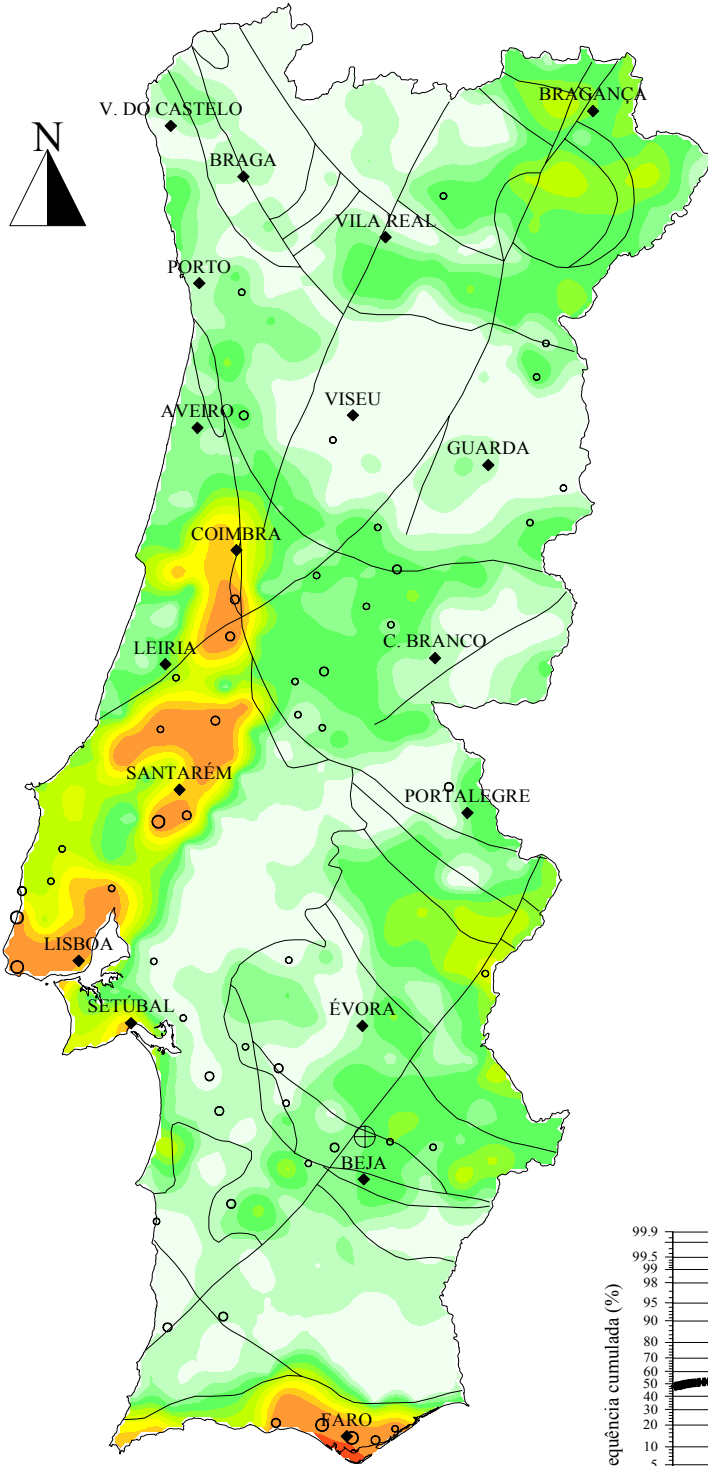
N=653

Co^* (esperado) $Co-Co^*$ (residual)

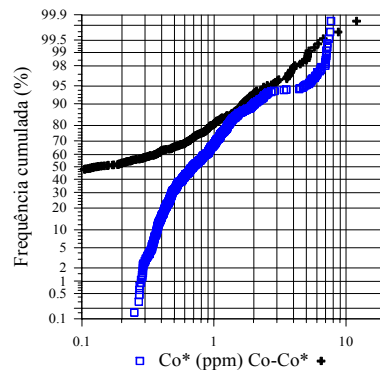
ppm



$Co^* = -0.681 + 0.402xRC + 0.409xRM + 0.306xCa + 0.661xOrlas + 0.309xZOM + 0.427xZCI + 0.047xFe$ (Variância explicada=35.95%)



— Limites Geostruturais e Falhas



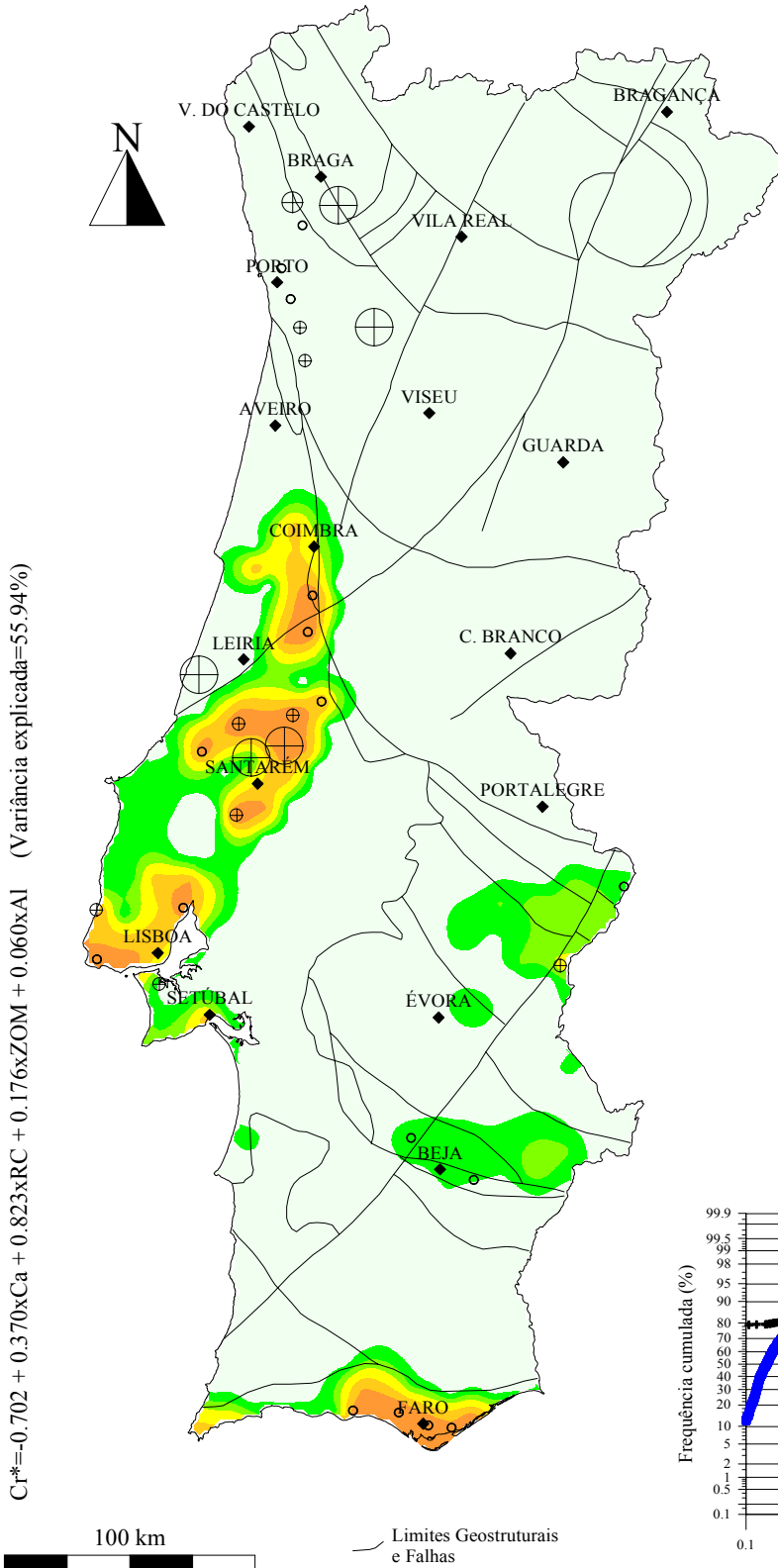
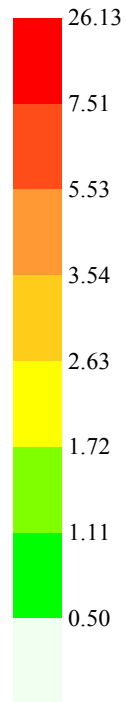
***Cr** = CRÓMIO f(RG, RM, RS, RC, ZCI, ZOM, ZSP, Orlas, Al, Fe, Mn, Ca) em SEDIMENTOS de CORRENTE**

GEOQUÍMICA de PORTUGAL
cartografia regional 2000
 (<80#, Acetato de Amónio, AAS, Krigagem)

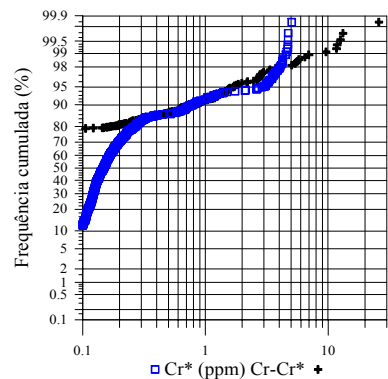
Cr
Sedimentos de Corrente

N=653

Cr* (esperado) (residual)
 ppm



$Cr^* = -0.702 + 0.370 \times Ca + 0.823 \times RC + 0.176 \times ZOM + 0.060 \times Al$ (Variância explicada = 55.94%)



***Cu** = COBRE f(RG, RM, RS, RC, ZCI, ZOM, ZSP, Orlas, Al, Fe, Mn, Ca) em SEDIMENTOS de CORRENTE**

**GEOQUÍMICA de PORTUGAL
cartografia regional 2000**

(<80#, Acetato de Amónio, AAS, Krigagem)

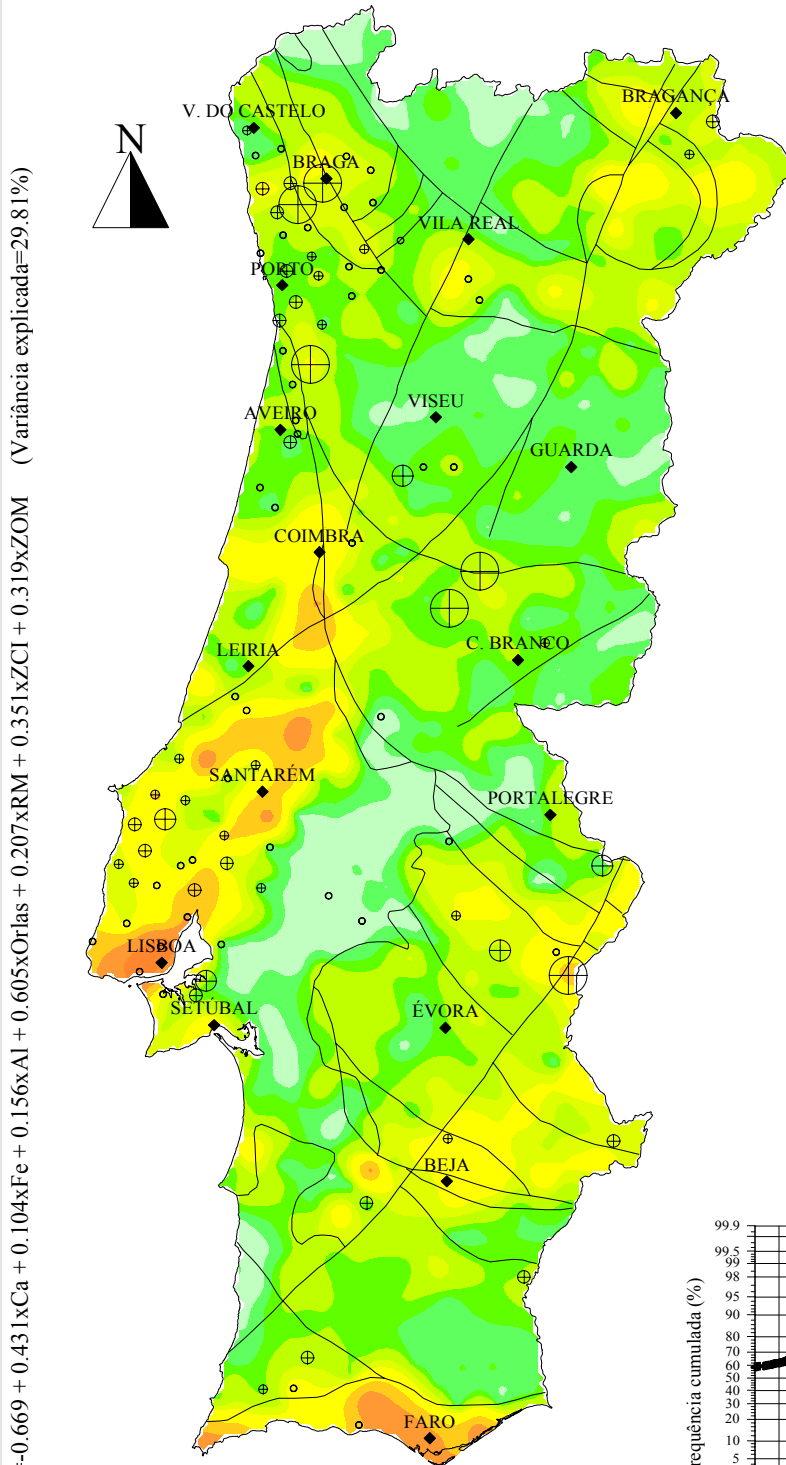
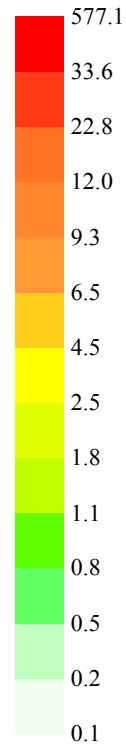
Cu

*Sedimentos
de Corrente*

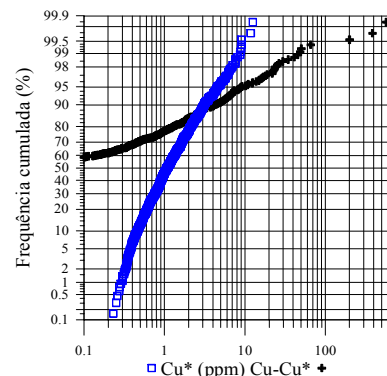
N=653

Cu* **Cu-Cu***
(esperado) (residual)

ppm



$Cu^* = -0.669 + 0.431xCa + 0.104xFe + 0.156xAl + 0.605xOrlas + 0.207xRM + 0.351xZCI + 0.319xZOM$ (Variância explicada=29,81%)



— Limites Geostruturais e Falhas

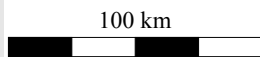
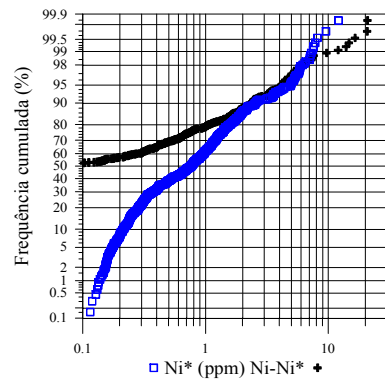
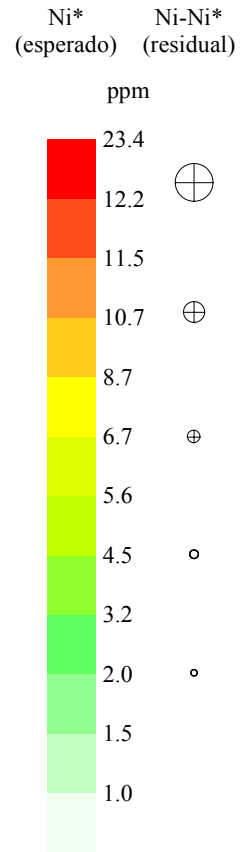
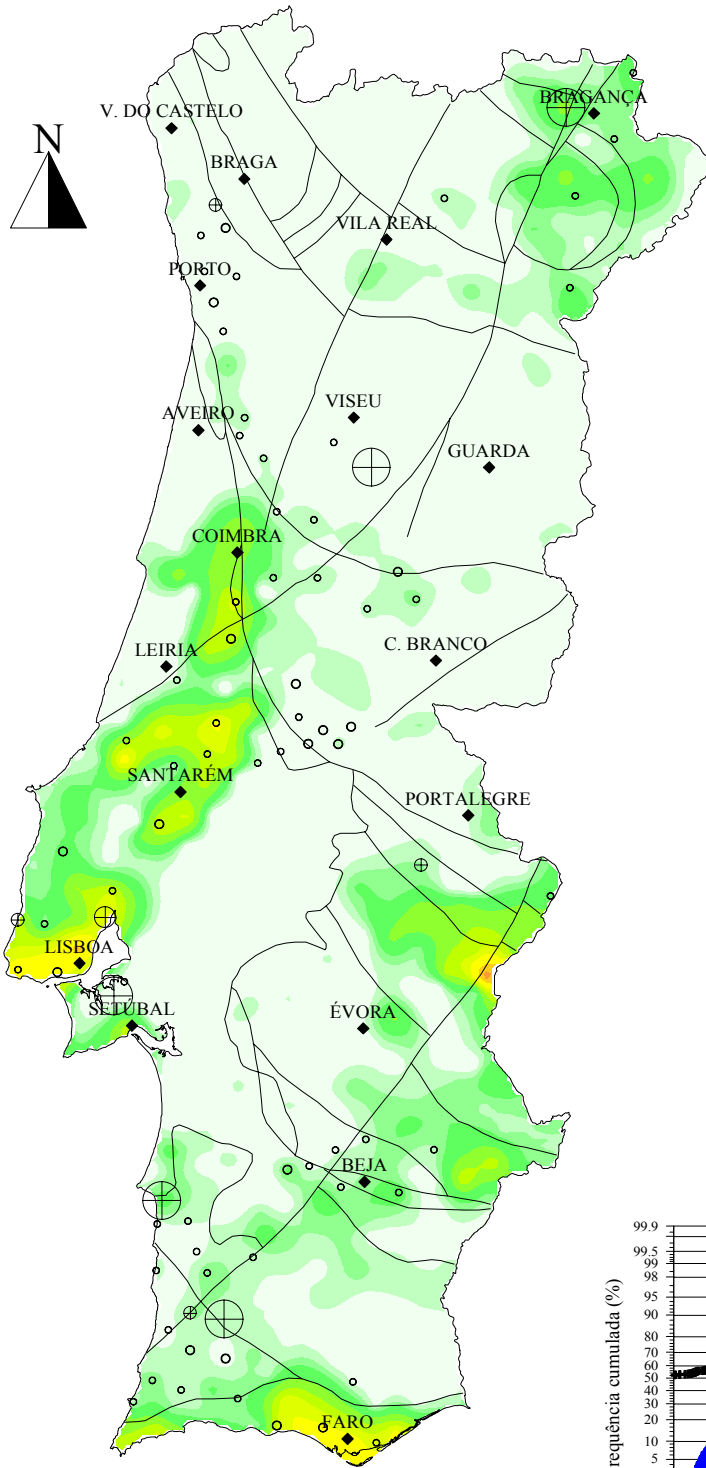
$Ni^* = Ni^*_{(RG, RM, RS, RC, ZCI, ZOM, ZSP, Orlas, Al, Fe, Mn, Ca)}$ em SEDIMENTOS de CORRENTE

GEOQUÍMICA de PORTUGAL
cartografia regional 2000
 (<80#, Acetato de Amónio, AAS, Krigagem)

Ni
 Sedimentos
 de Corrente

N=653

$Ni^* = -1.084 + 0.416 \times Ca + 0.506 \times RM + 0.847 \times RC + 0.099 \times Fe + 0.416 \times ZCI + 0.287 \times ZOM + 0.179 \times ZSP + 0.143 \times Mn$ (Variância explicada=46.44%)



— Limites Geostruturais e Falhas

Pb* = CHUMBO f(RG, RM, RS, RC, ZCI, ZOM, ZSP, Orlas, Al, Fe, Mn, Ca) em SEDIMENTOS de CORRENTE

GEOQUÍMICA de PORTUGAL cartografia regional 2000

(<80#, Acetato de Amónio, AAS, Krigagem)

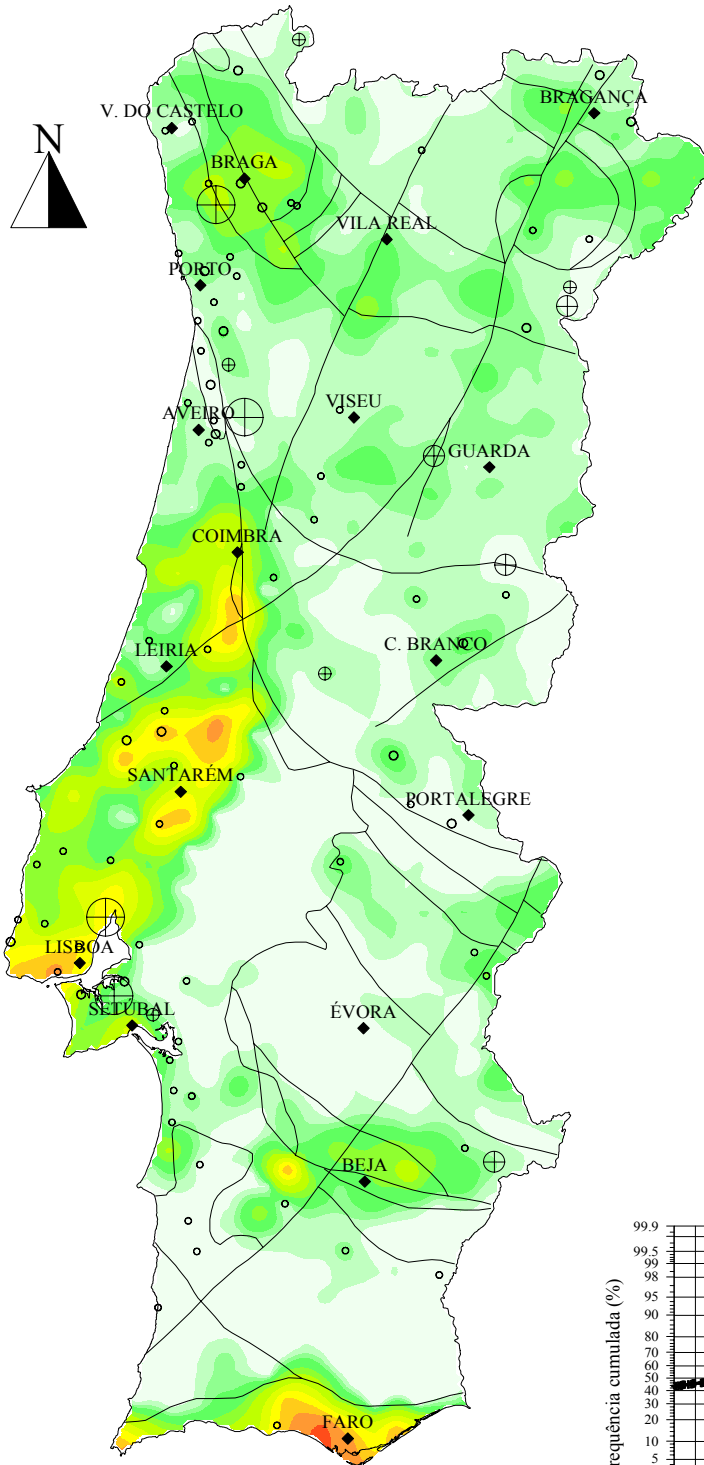
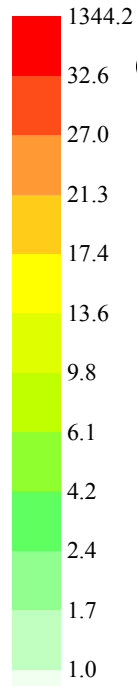
Pb

Sedimentos
de Corrente

N=653

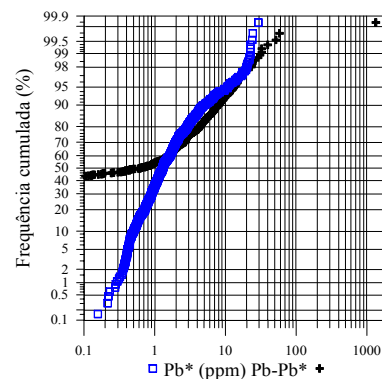
Pb* (esperado) Pb-Pb* (residual)

ppm



$Pb^* = -0.215 + 0.600 \times Ca + 0.402 \times ZCI + 0.512 \times Orlas + 0.245 \times Al$ (Variância explicada = 25.31%)

— Limites Geostruturais e Falhas



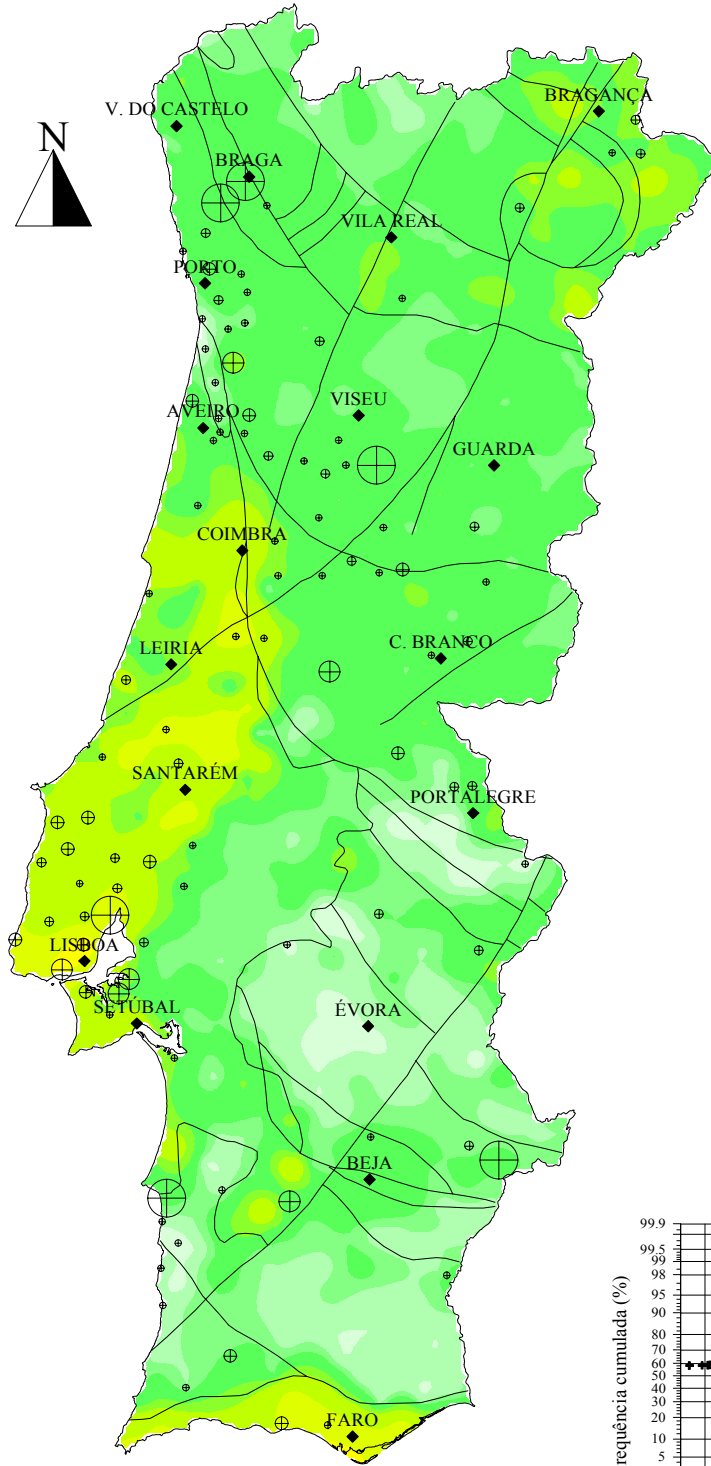
Zn* = ZINCO f(RG, RM, RS, RC, ZCI, ZOM, ZSP, Orlas, Al, Fe, Mn, Ca) em SEDIMENTOS de CORRENTE

GEOQUÍMICA de PORTUGAL
cartografia regional 2000
 (<80#, Acetato de Amónio, AAS, Krigagem)

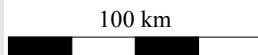
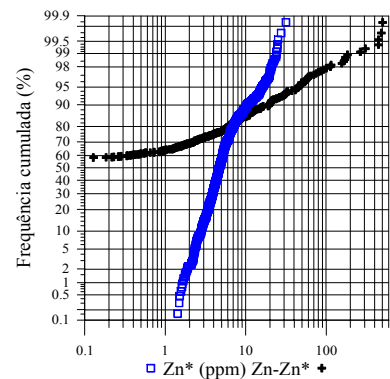
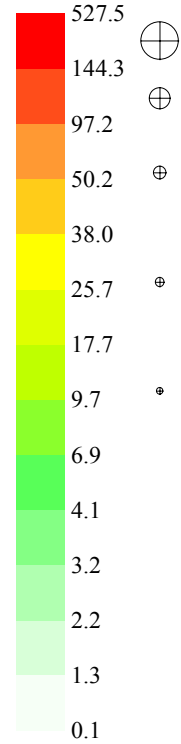
Zn
Sedimentos de Corrente

N=653

$Zn^* = 0.298 + 0.281 \times Ca + 0.399 \times ZCI + 0.533 \times Orlas + 0.091 \times Fe$ (Variância explicada=19.28%)



Zn* (esperado)
 Zn-Zn* (residual)
 ppm



— Limites Geostruturais e Falhas